

قياس تراكيز الرادون في تربة بعض المناطق الشمالية للعراق باستخدام كاشف الأثر النووي CR-39

علي مصطفى محمد**

نضاله حسن كاظم*

تاریخ قبول النشر 2008/11/2

الخلاصة

تم في هذا البحث قياس تراكيز غاز الرادون لأربعة وعشرون عينة ترابية موزعة في ستة مواقع لمنطقة الشمالية من العراق، عن طريق تسجيل اثار بواتح ألفا المنبعثة من غاز الرادون (Rn^{222}) في كاشف الأثر النووي (CR-39).

تم تحديد التراكيز بالحسابات المعتمدة على المقارنة مع العينات القياسية، ومن خلال النتائج المستحصلة وجدنا ان تراكيز الرادون في عينات الترب لمدينة دربنديخان تتراوح بين (16.60-34.04 Bq/m^3) ولمدينة حلجة (16.51-23.32 Bq/m^3) ومدينة السليمانية (17.61-32.25 Bq/m^3) ولمدينة كويسنجق (كوية) (22.04-35.65 Bq/m^3) ولمدينة شفلاوة (21.10-29.10 Bq/m^3) ومدينة اربيل (22.30-34.63 Bq/m^3) وان معدل تراكيز غاز الرادون في محافظة السليمانية واربيل بلغ (22.30 Bq/m^3) و (26.17 Bq/m^3) على التوالي. يتضح من خلال النتائج ان تراكيز الرادون في محافظة اربيل أعلى من محافظة السليمانية نسبياً.

الكلمات المفتاحية: الرادون في التربة، كاشف الأثر النووي، CR-39، تراكيز الرادون.

المقدمة

(1.1) وهو أكثر نظائر الرادون غزاره بسبب وفرة الثوريوم مقارنةً باليورانيوم.

3 – الأكتينيون وهو نظير الرادون (Rn^{219}) وينتمي إلى سلسلة الأكتينيوم (Ac^{227}) عمره النصفي (3.92 ثانية) يهمل هذا النظير غالباً عند تقييم الجرعة الإشعاعية الطبيعية وذلك بسبب نصف عمره القصير.

أن ولادات الرادون تشكل خطورة كبيرة. وإذا تم استنشاق الرادون فأنها تدخل إلى الجسم وتترسب مع ذرات الغبار على الأغشية المخاطية التي تغطي القصبة الهوائية وقد تدخل إلى الرئتين وتبدأ بالانحلال ويمكن أن تنتقل مع الدم إلى أعضاء مهمة في الجسم وتترسب فيها [3].

استخدمت تقنيات مختلفة للكشف عن غاز الرادون والثورون ولولياته وقياس تراكيز هم في المواد (الاهواء والمياه والتربة، الخ)[4] وان عملية الكشف عنه سوف تستند بصورة رئيسية إلى استخدام الكواشف النووية، وهذه الكواشف على نوعين هي الكواشف السلبية (Passive Detectors) مثل كواشف الأثر النووي الصلبة (Active Detectors) (*SSNTD's*) والكواشف الفعالة (Active Detectors) مثل كواشف أشباه الموصلات، إن كلا الصنفين أعلى تمتاز بحساسيتها العالية لجسيمات ألفا التي تبعث من الرادون إلا أن النوع الأول يكون مفضلاً عن النوع الثاني في حالة القياسات طويلة الأمد أو التي تجري في ظروف بيئية قاسية أو في أماكن بعيدة لا تتوفر فيها القدرة

الرادون هو أحد عناصر الجدول الدوري ويقع ضمن مجموعة العناصر النبيلة (الكالهيليوم والنيون والزيون وغيرها) وهو غاز مشع عديم اللون والرائحة ويسبب هذه الخواص تصعب عملية الكشف عنه. عدده الذري (86) نقطة غليانه (-61.8 $^{\circ}C$) ونقطة انجماده (-71.0 $^{\circ}C$) وكثافته (9.73 $Kg.m^{-3}$). [1]

يتولد غاز الرادون (Rn^{222}) نتيجة التحلل التلقائي (*Spontaneous Decay*) لعنصر الراديوم (Ra^{226}) الذي يوجد في القشرة الأرضية والذي يعتمد على وجود اليورانيوم (U^{238}) الذي يقدر الجيولوجيون وجوده في القشرة الأرضية بنسبة [2] (3 ppm). ان العناصر الموجودة في الطبيعة تتنمية إلى أربع سلاسل اتحال رئيسيّة (*Decay Series*) هي اليورانيوم (U^{238}) والاكتينيوم (Ac^{227}) والثوريوم (Th^{232}) والنبيتونيوم (Np^{237}) تمرُّ هذه السلاسل جميعها بأحد نظائر الرادون الثلاثة عدا النبيتونيوم وهذه النظائر هي [1]:

1 – الرادون: وهو نظير الرادون (Rn^{222}) وينتمي إلى سلسلة اليورانيوم (U^{238}) عمره النصفي (3.82 يوماً) وهذا ما يساعد على الانتشار لمسافات غير قليلة.

2 – الثورون: وهو نظير الرادون (Rn^{220}) وينتمي إلى سلسلة الثوريوم (Th^{232}) عمره النصفي

*جامعة بغداد- كلية العلوم للبنات - قسم الفيزياء

**جامعة الانبار- كلية العلوم - قسم الفيزياء

طاحونة يدوية، ومن ثم هيأت العينات بمواصفات معينة لإيجاد تراكيز الرادون.

2- عملية التشيع لحساب تراكيز الرادون

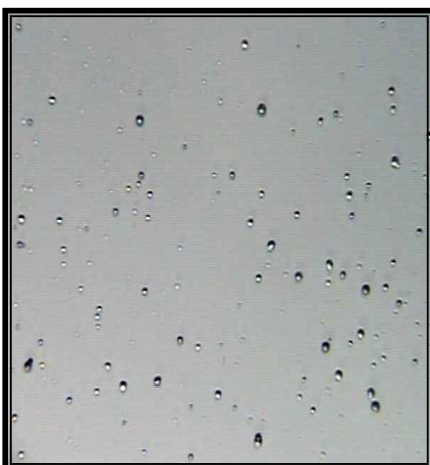
وضعت عينات من مسحوق الترب بوزن (12) (ففي علب بلاستيكية محكمة الغلق وتركت لمدة (22 يوماً) للحصول على حالة التوازن الإشعاعي، بعد انتهاء المدة المحددة استبدل غطاء العلبة بغطاء آخر مثبت عليه الكاشف (CR-39) (بمساحة تقريبية $1 \times 1 cm^2$) وتم وضع ورقة ترشيح أمام الكاشف لحب غاز الثورون-220 مع إحكام إغلاق الغطاء وذلك لعدم تسرب غاز الرادون إلى الخارج وتسجل آثار جسيمات ألفا الناتجة من انحلال Rn^{222} لمدة ثلاثة أيام [11,10] كما في الشكل (1).

3- القسط الكيميائي والمشاهدة المجهرية

أجريت عملية القسط الكيميائي للكاشف بعد مرحلة التشيع باستخدام محلول هيدروكسيد الصوديوم المائي ($NaOH$) (بعيارية (6.25N) درجة حرارة ${}^{\circ}C$ (60) ويعلق الكاشف (CR-39) ليوضع داخل محلول القسط لمدة ست ساعات وبعد انتهاء مدة القسط يؤخذ الكاشف ليغسل بالماء المقطر ويجف [12]. ومن ثم يتم الكشف عن الآثار باستخدام مجهر ضوئي وذلك باختيار التكبير المناسب وعد الآثار لوحدة المساحة ثم يقسم معدل عدد الآثار ($Nave$) للأتموج (X) على المساحة المحسوبة (A) لنجصل على كثافة الآثار (ρ_x)، الشكل (2) يوضح آثار شظايا الانشطار في كاشف الآثر النووي CR-39.

$$\rho_x = \frac{N_{ave}}{A} \quad \dots \dots \dots (1)$$

اذ ان: ρ_x : كثافة آثار ($Track/mm^2$).
 $Nave$: معدل الآثار الكلية ضمن المساحة (A).
 A : المساحة (mm^2).



الشكل (2) وضح آثار جسيمات الفا في الكاشف الآثر النووي (CR-39).

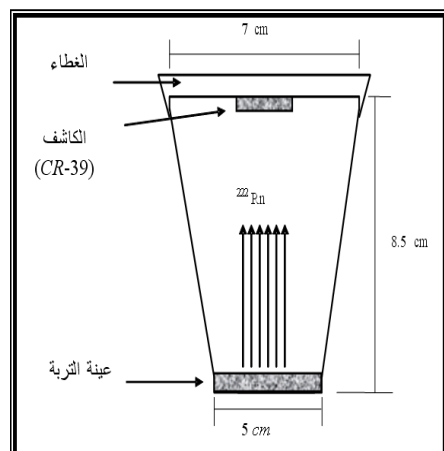
الكهربائية لأنها بسيطة ولا تحتاج إلى أجهزة معقدة وغير مكلفة [6,5]، وهي عبارة عن مواد صلبة عازلة كهربائياً لها القابلية على حزن تأثير الإشعاعات المؤينة على شكل تلف (ضرر) في تركيبها الداخلي والاحتفاظ بها لمدة طويلة. إذ يمكن مشاهدة مناطق التلف أما باستخدام المجهر الإلكتروني مباشره أو باستخدام المجهر الضوئي بعد معاملتها ببعض المحاليل الكيميائية القاشطة [8,7].

لقد أثبتت العديد من الدراسات ان كاشف النموي (CR-39) هو أكثر الكواشف حساسية ويستطيع ان يسجل الآثار الناتجة عن البروتونات حتى تلك التي لها طاقة واطنة والنبيتونات ودقائق ألفا والآيونات الثقيلة وغيرها، فضلاً عن ما تمتاز به هذه الكواشف من إمكانيةبقاء الآثار النووية عليها لمدة طويلة شرط عدم تعرضها الى درجة حرارة أكثر من ($90 {}^{\circ}C$) في أثناء الحزن. وكذلك فإنها عالية التجانس وذات حساسية عالية للإشعاع فضلاً عن عدم تأثيرها بالضوء ودرجات الحرارة المعتدلة وسهولة استخدامها، اذ إنها لا تتطلب منظومة الكترونية [9].

المواد وطرق العمل:

1- جمع وتحضير العينات

تم جمع عينات من الترب في تموز 2007 من مناطق الدراسة التي شملت بعض مناطق محافظة السليمانية واربيل بعمق (3-10 cm) ولثلاثة أقضية من كل محافظة وبواقع أربع عينات لمناطق مختلفة من كل قضاء وكانت تلك الأقضية هي (دربنديخان و حلبة و مركز مدينة السليمانية وكويسنق (كوية) وشقاوة ومركز مدينة اربيل). تم تجفيف العينات بدرجة حرارة ($80 {}^{\circ}C$) لمدة ساعتين باستخدام فرن حراري وتم غربالتها للتخلص من الأجسام الغريبة وطحنت طحناً ناعماً حتى أصبحت على شكل مسحوق دقيق باستخدام



الشكل (1) ووضح عملية التشيع لتركيز الرادون.

تركيز الرادون

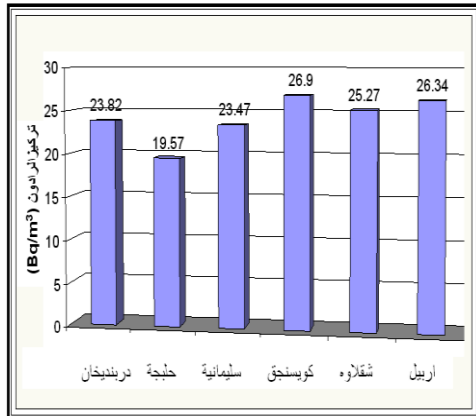
خطية كما في الشكل (3) ومنها تم حساب تراكيز الرادون للعينات على وفق العلاقة (3).

$$\frac{\text{تراكيز الماناج الجيوجرافية } (C_s) \text{ كثافة الآثار الجيوجرافية}}{\text{تراكيز الماناج القياسية } (C_r) \text{ كثافة الآثار القياسية}} = \frac{Bq/m^3}{\rho_s} \quad (2)$$

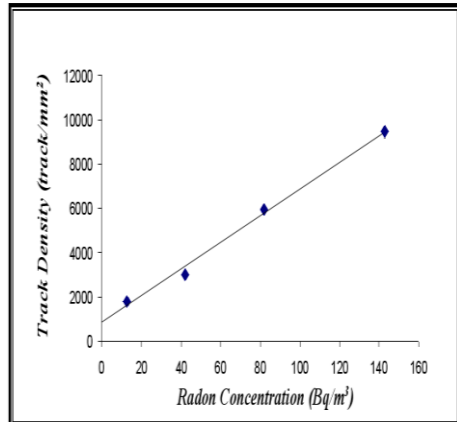
وحسبت تراكيز الرادون في عينات الترب باستخدام العلاقة لاتية:

$$C_x = (C_s / \rho_s) \times \rho_x = \rho_x / \text{Slope} \quad \dots\dots (3)$$

تمت المعايرة لتحديد تراكيز الرادون باستخدام عينات قياسية تحتوي على تراكيز معلومة من اليورانيوم وتعرض الكواشف لها لمدة ثلاثة أيام وبظروف التشبع نفسها للعينات المراد دراستها وتم حساب التعرض لغاز الرادون بوحدات Bq/m^3 . بعد مدة التشبع أجريت عملية القشط الكيميائي وحسبت آثار جسيمات ألفا المنبعثة من غاز الرادون الذي هو أحد نواتج انحلال سلسلة اليورانيوم ورسمت العلاقة البيانية بين التعرض للرادون (Bq/m^3) وكثافة الآثار (Bq/m^3) وكانت العلاقة



الشكل(4) مخطط يوضح تراكيز الرادون في عينات الترب لمحافظتي السليمانية واربيل



الشكل(3) يوضح علاقة كثافة الآثار مع تراكيز الرادون لعينات الترب القياسية

الجدول (1) يبين كثافة الآثار و معدل تراكيز الرادون لأربعة مواقع ضمن مناطق الدراسة.

المحافظة	الموقع	النماذج	كثافة الآثار (Track/mm ²)	تراكيز الرادون (Bq/m ³)	معدل التراكيز (Bq/m ³)	معدل التراكيز لكل محافظة (Bq/m ³)	
الإسماعيلية	المنطقة الغربية	S ₁	975 ± 144.6	16.60	23.82 ± 7.41	22.30 ± 2.36	
		S ₂	1230 ± 83.9	21.00			
		S ₃	2000 ± 83.4	34.04			
		S ₄	1395 ± 192.2	23.74			
	المنطقة الشرقية	S ₅	1035 ± 79.55	17.61	19.57 ± 3.10		
		S ₆	970 ± 11.07	16.51			
		S ₇	1225 ± 65.12	20.85			
		S ₈	1370 ± 122.0	23.32			
	المنطقة الجنوبية	S ₉	1035 ± 145.3	17.61	23.47 ± 6.22		
		S ₁₀	1320 ± 104.7	22.46			
		S ₁₁	1895 ± 382.8	32.25			
		S ₁₂	1265 ± 119.0	21.53			
الإسكندرية	المنطقة الغربية	S ₁₃	1525 ± 82.7	26.00	26.90 ± 6.05	26.17 ± 0.82	
		S ₁₄	1405 ± 160.1	24.00			
		S ₁₅	1295 ± 151.7	22.04			
		S ₁₆	2095 ± 162.8	35.65			
	المنطقة الشرقية	S ₁₇	1240 ± 95.1	21.10	25.27 ± 4.24		
		S ₁₈	1300 ± 156.1	22.12			
		S ₁₉	1690 ± 131.6	28.76			
		S ₂₀	1710 ± 138.0	29.10			
	المنطقة الجنوبية	S ₂₁	1385 ± 99.0	23.57	26.34 ± 5.62		
		S ₂₂	1310 ± 106.0	22.30			
		S ₂₃	1460 ± 126.5	24.00			
		S ₂₄	2035 ± 89.82	34.63			

الإسماعيلية هي 22.30 Bq/m^3 ولمحافظة اربيل هي (26.17 Bq/m^3) .

مما نلاحظ ان معدل تراكيز غاز الرادون في عينات الترب لمناطق الدراسة في محافظة

- College of Education/Ibn Al-Haitham.
5. Al-Ataby, Nesha'at R., 2005 .Study of Environmental Radioactivity in the Soil of Al-Tuwaitha Zone and its Surrounding Sides. Ph.D. Thesis, Baghdad University, College of Science.
6. Al-Baidhani, Mustafa A., 2006 .Determination of the Radioactivity in Soil and Water in Baghdad, Karbala and Basrah Samples. M. Sc. Thesis, Al-Nahrain University, College of Science.
7. العاني، دنيا فاضل. 2000. قياس النشاط الأشعاعي للراودون المنبعث من بعض مكونات مواد البناء. رسالة ماجستير، الجامعة المستنصرية، كلية التربية.
8. Vukovic, J.B. 1990. the application of SSNTDs and nuclear emulsions in the life sconces.. Nucl. Tracks Radiation. Meas. 17 (1):61-64.
9. Durrani, S. A. and Bull, R. K, 1987. Solid State Nuclear Track Detection Principles, Methods & Application. Pergamon Press, U.K.,
10. Mahmoud, K. 2005. Assessment of radon-222 concentration in buildings, building materials, water and soil in Jordan. Applied Radiation and Isotopes. 62(1): 763-773.
11. Kullab, M. K., Al-Bataina, B. A., Ismail, A. M. and Abumurad, K. M., Seasonal variation of radon-222 concentration in specific locations in Jordan. Radiation Measurements. 34 (1): 361-364.
12. سعيد، بشائر محمد 1998. تحديد تراكيز الراودون في الابنية باستخدام كاشف الاثر النووي CR-39. رسالة ماجستير، جامعة بغداد، كلية التربية (ابن الهيثم).
13. World Health Organization, WHO. 1993. Guidelines for drinking-water quality. 2nd ., Geneva.

ان الاستنتاجات التي تم الوصول اليها من خلال الدراسة الحالية هي ان تقنية عد اثار جسيمات الفا لتحديد تراكيز غاز الراودون في عينات الترب باستخدام كاشف الاثر النووي (CR-39) من التقنيات الجيدة والمناسبة لدراسة النشاط الإشعاعي اذ أنها سهلة الاستخدام ولا تحتاج الى منظومة الكترونية.

ان معدلات تراكيز الراودون في عينات الترب في محافظة السليمانية تراوحت بين $19.57-23.82 \text{ Bq/m}^3$ (وفي محافظة اربيل $25.27-26.90 \text{ Bq/m}^3$) وهو اقل بكثير من حد التعرض المسموح به التي حددهه منظمة الصحة الدولية (800 Bq/m^3) [14].

الشكل (4) يبين تراكيز الراودون لمناطق الدراسة حيث ظهر عدم وجود تفاوت كبير في القيم وكانت التراكيز في محافظة السليمانية اقل من محافظة اربيل نسبياً وهذا يعود الى طبيعة تكوين التربة. ومن خلال الدراسة تبين ان عدم وجود الملوثات ومعامل الطاقة النووية ومنشآت تصنيع المواد المشعة وعدم تعرض هذه المناطق لأحداث حربي عام 1991 وعام 2003 دور كبير في عدم تلوث المنطقة، علماً بان منطقة دراستنا كانت قريبة من المناطق السكنية والزراعية ومن أطراف المدينة.

المصادر

1. الجار الله، محمد بن ابراهيم. 2006. نظرية عامة حول الراودون في المساكن. الذرة والتنمية. 18 .25:(1)
2. Al-Taamimi, M. H. and Abumurad, K. M. 2001. Radon anomalies along faults in north Jordan. Radiation Measurements. 34 (1): 397-400.
3. الأحمد، خالد عبيد. 1993. مقدمة في الفيزياء الصحية. وزارة التعليم العالي والبحث العلمي، جامعة الموصل، العراق. 494.
4. Al-Ubidi, Khalid H. M., 2006. Identification and Measurement of Natural and Industrial Radioactive Pollutants in Environment of Baghdad City Using Gamma Spectrometry and Solid State Nuclear Track Detector CR-39. Ph.D. Thesis, Baghdad University,

Radon concentration measurement in soil for some northen Iraqi's regions by using CR-39 detector

*Nidhala H.K. AL-Ani**

*Ali Mustafa Mohammed***

*University of Baghdad/College of Science for Women/ Department of Physics

** University of AL-Anbar / College of Science/Department of Physics

Abstract

Concentrations of radon were measured in this study for twenty-four samples of soil distributed in six locations on the north part of Iraq. The radon concentrations in soil samples measured by using alpha-emitters registration that emits from Radon (^{222}Rn) in (CR-39) track detector.

The concentrations values were calculated by a comparison with standard samples. The results shows that the radon gas concentrations in Darbandikhan City varies from ($16.60\text{-}34.04 \text{ Bq}/\text{m}^3$), Halabja City ($16.51\text{-}23.32 \text{ Bq}/\text{m}^3$), Al Sulaimaniya City ($17.61\text{-}32.25 \text{ Bq}/\text{m}^3$), Koisnjaq City ($22.04\text{-}35.65 \text{ Bq}/\text{m}^3$), Shaqlaua City ($21.10\text{-}29.10 \text{ Bq}/\text{m}^3$) and Erbil City ($22.30\text{-}34.63 \text{ Bq}/\text{m}^3$). The average radon gas concentration in Al Sulaimaniya and Erbil governorate are ($22.30 \text{ Bq}/\text{m}^3$) and ($26.17 \text{ Bq}/\text{m}^3$) respectively. As a conclusion from the study Radon concentration in governorate of Erbil is relatively higher than that in governorate of Al Sulaimaniya.